

量子计算实验

廖荣、罗钰涵、俞志涛

1 实验原理

1.1 量子比特

量子比特是量子计算机中的信息单元，其处于 $|0\rangle$ 与 $|1\rangle$ 的叠加态

$$|\psi\rangle = \alpha|0\rangle + \beta|1\rangle \quad (1)$$

因为这个态是归一化的，我们也可以将其写为

$$|\psi\rangle = \cos\frac{\theta}{2}|0\rangle + e^{i\phi}\sin\frac{\theta}{2}|1\rangle \quad (2)$$

单个量子比特的纯态可以和布洛赫球上的点一一对应。

1.2 量子逻辑门

名称	符号	矩阵表示
Hadamard		$\frac{1}{\sqrt{2}}\begin{bmatrix} 1 & 1 \\ 1 & -1 \end{bmatrix}$
Pauli-X		$\begin{bmatrix} 0 & 1 \\ 1 & 0 \end{bmatrix}$
Pauli-Y		$\begin{bmatrix} 0 & -i \\ i & 0 \end{bmatrix}$
Pauli-Z		$\begin{bmatrix} 1 & 0 \\ 0 & -1 \end{bmatrix}$
C-Not		$\begin{bmatrix} 1 & 0 & 0 & 0 \\ 0 & 1 & 0 & 0 \\ 0 & 0 & 0 & 1 \\ 0 & 0 & 1 & 0 \end{bmatrix}$

图 1: 常用量子逻辑门的符号和矩阵表示

控制单个逻辑门的矩阵须是么正矩阵，理论上可以证明，对于任意的多比特量子逻辑门，都可以通过两比特受控非门结合单比特量子逻辑门的方式实现。我们称单比特量子逻辑门和受控非门形成一组普适的量子逻辑门。

1.3 量子测量

可以用量子比特的正交特征矢对结果进行测量，常选取的基矢为

$$|1\rangle, |0\rangle \quad |+\rangle = \frac{1}{\sqrt{2}}(|0\rangle + |1\rangle), |-\rangle = \frac{1}{\sqrt{2}}(|0\rangle - |1\rangle) \quad (3)$$

1.4 量子测量

对于定义在 $\{0, 1\}^n$ 上的函数，有两种输出情况：只输出 0 或 1，称为常函数；对一半输入输出 0，一半输入输出 1，称为平衡函数。用一般的算法需要至多 $2^{n-1} + 1$ 次计算，但使用 Deutsch-Jozsa 算法只需要一次。输入量子态为 $|01\rangle$ ，对两个量子比特分别施加 Hadamard 门，得到

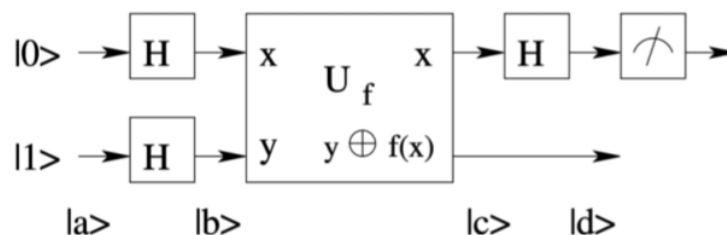


图 2: Deutsch 算法

$$|b\rangle = \left(\frac{|0\rangle + |1\rangle}{\sqrt{2}} \right) \left(\frac{|0\rangle - |1\rangle}{\sqrt{2}} \right) \quad (4)$$

对 $|b\rangle$ 施加逻辑门 U_f

$$U_f = |x, y \oplus f(x)\rangle \quad (5)$$

$y \oplus f(x)$ 表示 $y + f(x)$ 除以 2 的余数，因此有

$$\begin{cases} U_f |x, 0\rangle = |x, f(x)\rangle \\ U_f |x, 1\rangle = |x, 1 - f(x)\rangle \end{cases} \quad (6)$$

所以

$$U_f |x\rangle \left(\frac{|0\rangle - |1\rangle}{\sqrt{2}} \right) = |x\rangle \left(\frac{|f(x)\rangle - |1 - f(x)\rangle}{\sqrt{2}} \right) = (-1)^{f(x)} |x\rangle \left(\frac{|0\rangle - |1\rangle}{\sqrt{2}} \right) \quad (7)$$

考察第一个量子比特，如果是常函数，则为 $\left(\frac{|0\rangle + |1\rangle}{\sqrt{2}} \right)$ ，如果是平衡函数则为 $\left(\frac{|0\rangle - |1\rangle}{\sqrt{2}} \right)$ 。然后对第一个量子比特施加 Hadamard 门，如果是常函数

$$|d\rangle = \pm |0\rangle \left(\frac{|0\rangle - |1\rangle}{\sqrt{2}} \right) \quad (8)$$

如果是平衡函数则为

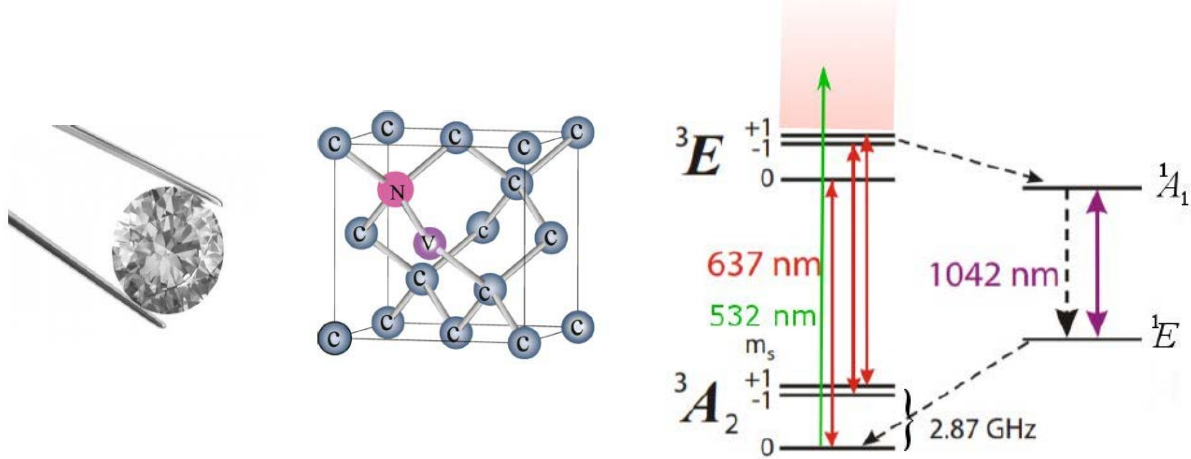
$$|d\rangle = \pm |1\rangle \left(\frac{|0\rangle - |1\rangle}{\sqrt{2}} \right) \quad (9)$$

用 $|0\rangle$ 对第一个量子比特进行测量，如果结果是 1，则是常函数，结果是 0 则为平衡函数。

2 实验方法

2.1 NV 色心

NV (Nitrogen-Vacancy) 色心是金刚石中的一种点缺陷。金刚石晶格中一个碳原子缺失形成空位，近邻的位置有一个氮原子，这样就形成以了一个 NV 色心。NV 色心的基态为三重态，并且会在激光的照射下跃迁到磁量子数为 0 的态，故可以将 $|m_s = 0\rangle$ 的态选作量子比特基态。



2.2 自旋态操控

使用自旋磁共振技术对自旋态进行操控。spin-1/2 的电子在外磁场中的哈密顿量为

$$\hat{H} = -\vec{\mu} \cdot \vec{B}_0 \quad (10)$$

而磁矩与自旋算符的关系为

$$\vec{\mu} = \gamma \vec{S} = \gamma \frac{\hbar}{2} \vec{\sigma} \quad (11)$$

取磁场为 z 轴方向，则

$$\hat{H} = -\frac{\hbar}{2} \begin{pmatrix} \gamma B_0 & 0 \\ 0 & -\gamma B_0 \end{pmatrix} := -\frac{\hbar}{2} \begin{pmatrix} \omega_0 & 0 \\ 0 & -\omega_0 \end{pmatrix} \quad (12)$$

记自旋初态为 $|\psi_0\rangle = a_0 |0\rangle + b_0 |1\rangle$ ，其随时间的演化为

$$i\hbar \begin{pmatrix} \dot{a} \\ \dot{b} \end{pmatrix} = -\frac{\hbar}{2} \begin{pmatrix} \omega_0 & 0 \\ 0 & -\omega_0 \end{pmatrix} \begin{pmatrix} a \\ b \end{pmatrix} \quad (13)$$

如果设 $|a_0| = \cos(\alpha/2)$, $|b_0| = \sin(\alpha/2)$ ，可以得到

$$\langle S_z \rangle = \frac{\hbar}{2} \cos \alpha \quad (14)$$

$$\langle S_x \rangle = \frac{\hbar}{2} \sin \alpha \cos(\omega_0 t + \alpha_0) \quad (15)$$

$$\langle S_y \rangle = -\frac{\hbar}{2} \sin \alpha \sin(\omega_0 t + \alpha_0) \quad (16)$$

这表示自旋随着时间进动，现在考虑一个圆偏振的磁场

$$\begin{cases} B_x = B_1 \cos \omega t \\ B_y = B_1 \sin \omega t \end{cases} \quad (17)$$

代入薛定谔方程可以得到 $t > 0$ 时刻自旋向上的概率为

$$P_{\uparrow} = \frac{\omega_1^2}{\omega_1^2 + (\omega_0 - \omega)^2} \sin^2 \delta t \quad (18)$$

其中

$$\delta = \sqrt{\omega^2 + (\omega_0 - \omega)^2} \quad (19)$$

通过这一过程我们可以实现自旋的拉比振荡，当 $\omega_1 t = \pi$ 时，量子比特由 $|0\rangle$ 完全跃迁至 $|1\rangle$ ，实现非门；当 $\omega_1 t = \pi$ 时，量子比特调制为 $|0\rangle \rightarrow \frac{|0\rangle + i|1\rangle}{\sqrt{2}}$ 。

2.3 实验装置

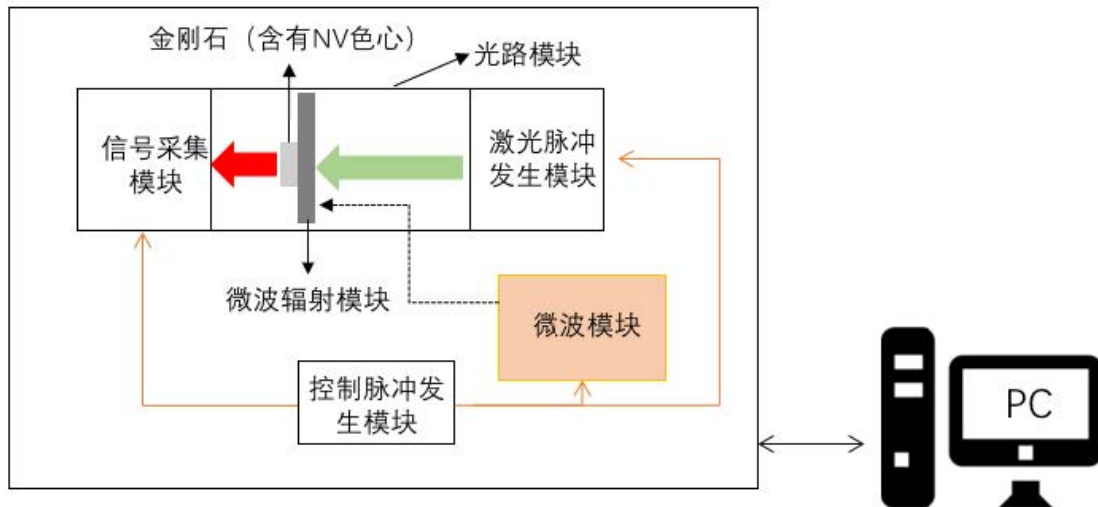


图 3: 实验装置图

3 实验内容和结果

3.1 连续波实验

NV 色心的自旋态能够被激光初始化，并且发出荧光的亮度是依赖于自旋状态的。施加微波到色心上，可以改变自旋在 $|m_s = 0\rangle$ 态和 $|m_s = \pm 1\rangle$ 态的布居，从而改变荧光强度。因为 NV 色心的荧光亮度是依赖于自旋态的。改变施加的微波频率，当共振的微波改变了自旋状态，荧光亮度会相应的发生改变。因此，当微波频率与能级间隔共振时，谱线上会出现低谷。

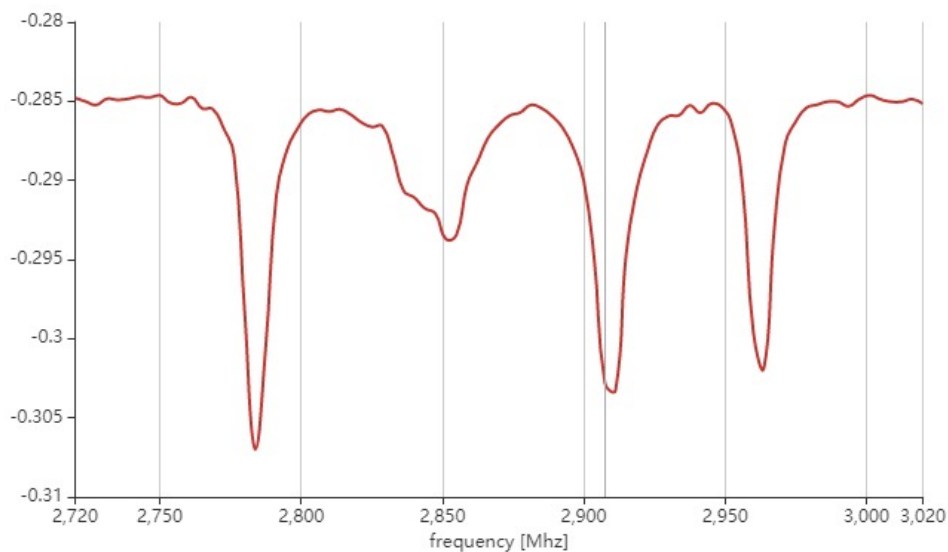


图 4: 连续波实验

得到四个共振频率为 2783.75MHz,2852MHz,2910MHz,2963.75MHz。

3.2 拉比振荡实验

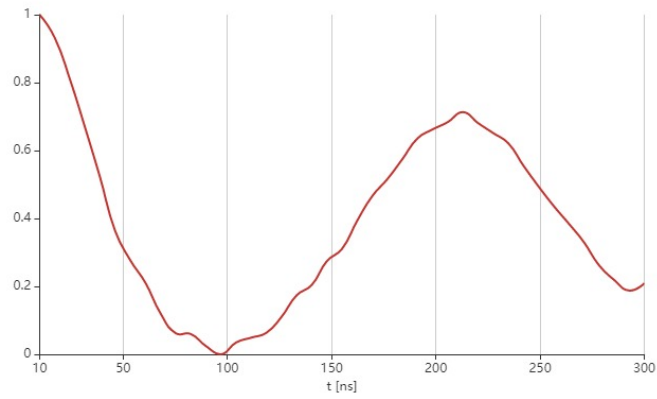


图 5: 2910MHz 的拉比振荡实验

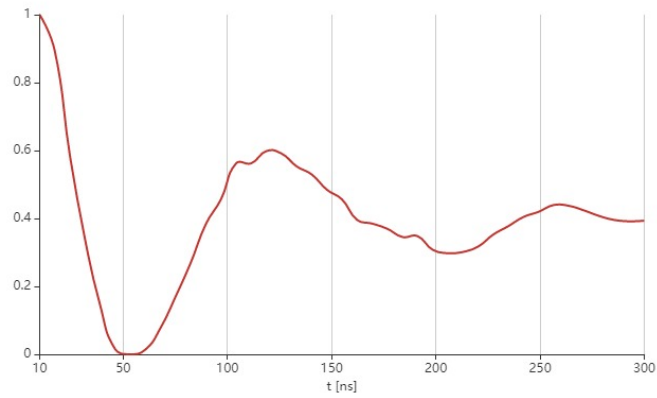


图 6: 2852MHz 的拉比振荡实验

2852MHz 的 2π 脉冲宽度是 119ns, 2910MHz 的 $\pi/2, \pi, 2\pi$ 脉冲宽度分别是 39ns, 97ns, 213ns。

3.3 回波实验

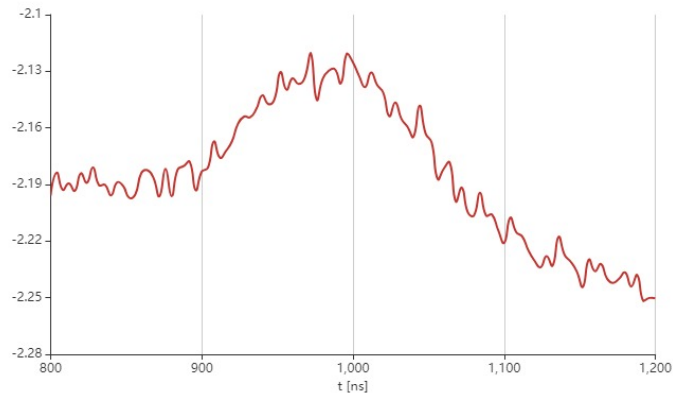


图 7: 2910MHz 的回波实验

回波波峰出现在 1000ns 处，与设置的 $t_1 = 1000ns$ 符合。

3.4 T_2 实验

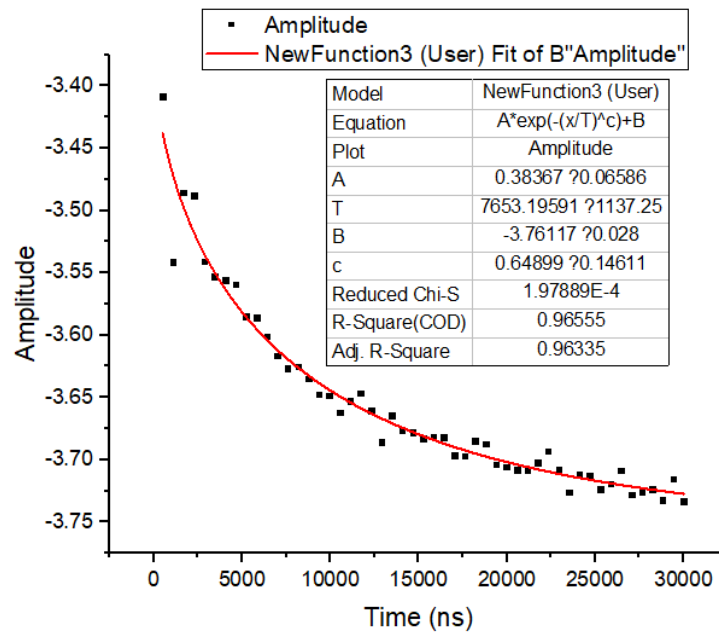


图 8: 2910MHz 的 T_2 实验

利用指数衰减拟合得到 $T_2 = 7653ns$ 。

3.5 DJ 算法实验

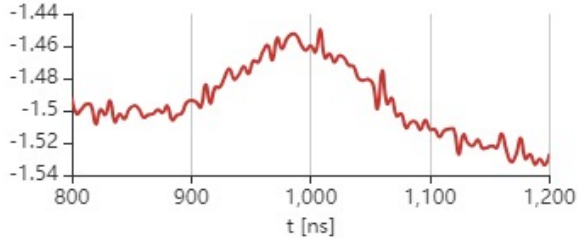


图 9: DJ1

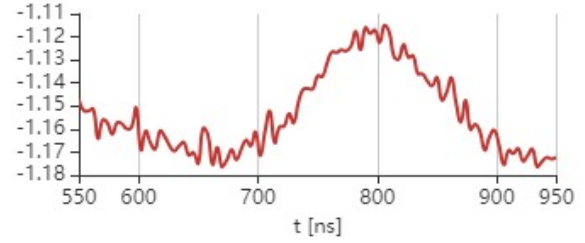


图 10: DJ2

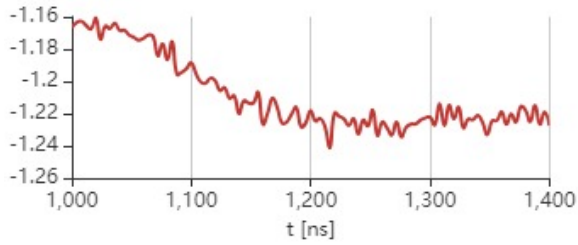


图 11: DJ3

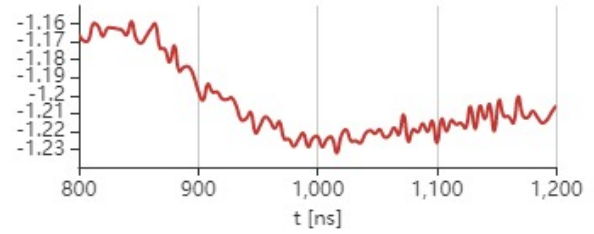


图 12: DJ4

$$\begin{aligned}
 U_{f_1} &= \begin{pmatrix} 1 & 0 \\ 0 & 1 \end{pmatrix} \Leftrightarrow f(x) = 0 & U_{f_3} &= \begin{pmatrix} 1 & 0 \\ 0 & -1 \end{pmatrix} \Leftrightarrow f(x) = x \\
 U_{f_2} &= \begin{pmatrix} -1 & 0 \\ 0 & -1 \end{pmatrix} \Leftrightarrow f(x) = 1 & U_{f_4} &= \begin{pmatrix} -1 & 0 \\ 0 & 1 \end{pmatrix} \Leftrightarrow f(x) = 1 - x
 \end{aligned}$$

图 13: 实验中用到的不同函数/矩阵

通过回波方向可以判断出 f_1 和 f_2 是常函数， f_3 和 f_4 是平衡函数。

3.6 偏共振实验

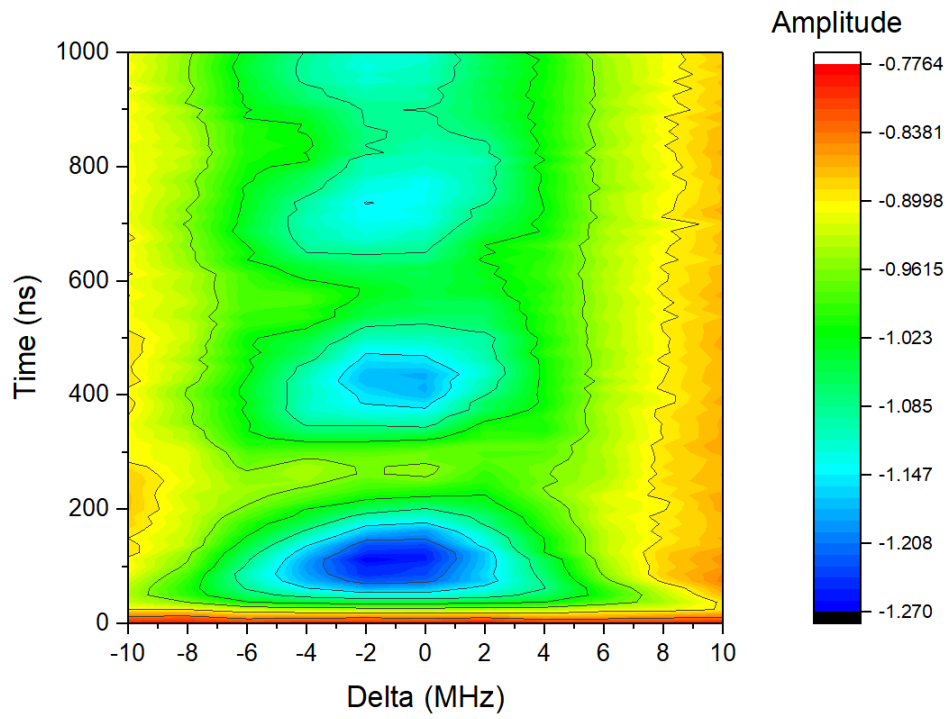


图 14: 0dBm 功率下的 2910MHz 偏共振实验

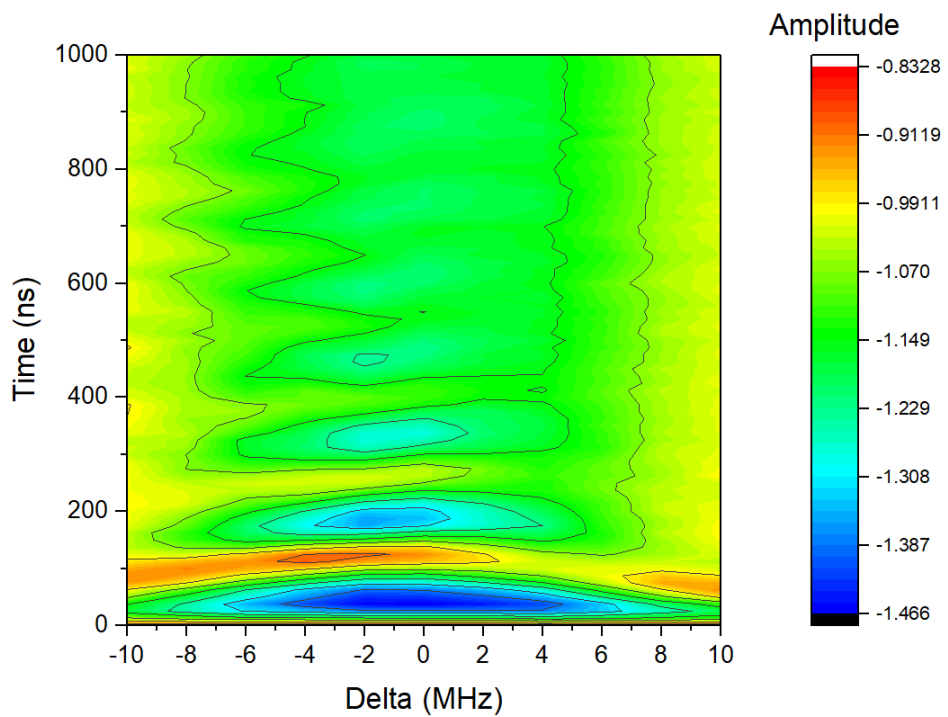


图 15: 9dBm 功率下的 2910MHz 偏共振实验